

· 现场调查 ·

双能X线吸收法和生物电阻抗法测量成年超重/肥胖人群体脂率一致性分析

王政和 付连国 阳益德 王烁 马军

【摘要】 目的 分析生物电阻抗(MF-BIA)法和双能X线吸收(DXA)法测量成年超重/肥胖人群体脂率的一致性,并建立MF-BIA法校正预测模型。方法 招募志愿成年超重/肥胖者1 323人,分别采用MF-BIA法和DXA法测定受试者的体脂率,分析两方法测量结果的一致性,并建立MF-BIA法校正预测模型。结果 成年男女性超重/肥胖的MF-BIA法与DXA法测量体脂率差值分别为-6.5%、-4.3%和-2.5%、0.5%,差异均有统计学意义(均 $P<0.01$),其体脂率的组内相关系数分别为0.746、0.807和0.628、0.674,差异均有统计学意义(均 $P<0.01$)。MF-BIA法校正预测模型包括超重男性人群:体脂率(DXA法)=13.425+0.719×体脂率(MF-BIA法);肥胖男性人群:体脂率(DXA法)=12.572+0.741×体脂率(MF-BIA法);超重女性人群:体脂率(DXA法)=9.785+0.802×体脂率(MF-BIA法);肥胖女性人群:体脂率(DXA法)=20.348+0.532×体脂率(MF-BIA法)。结论 MF-BIA法和DXA法测量我国成年超重/肥胖人群体脂率一致性较差,使用MF-BIA法测量体脂率需进行校正。

【关键词】 肥胖; 体脂率; 生物电阻抗法; 双能X线吸收法; 预测模型

Comparison of consistency in measurement of body fat percentage by dual-energy X-ray absorptiometry and multi-frequency bioelectrical impedance analysis in overweight and obese adults in China Wang Zhenghe¹, Fu Lianguo², Yang Yide¹, Wang Shuo¹, Ma Jun¹. 1 School of Public Health and Institute of Child and Adolescent Health, Peking University, Beijing 100191, China; 2 Department of Preventive Medicine, Bengbu Medical College
Corresponding author: Ma Jun, Email:majunt@bjmu.edu.cn

【Abstract】 **Objective** To compare the consistency in the measurement of percentage of body fat (PBF) by multi-frequency bioelectrical impedance analysis (MF-BIA) and dual energy X-ray absorptiometry (DXA) in overweight and obese adults in China, and provide evidence for the accurate MF-BIA application in China. **Methods** A total of 1 323 overweight/obese adults aged 22–55 years were recruited in this study. All the subjects received PBF measurement by both MF-BIA and DXA. The consistency in PBF measurement by MF-BIA and DXA was evaluated by using interclass correlation coefficients (ICC), then the correction prediction models was established. **Results** The differences in PBF measurement in male subjects and female subjects between MF-BIA and DXA were statistical significant (all $P<0.01$), the mean difference values were -6.5% for overweight males and -4.3% for obese males, -2.5% for overweight females and 0.5% for obese females, respectively. The difference in ICC of PBF between MF-BIA and DXA measurement were statistically significant in all subgroups ($P<0.01$). The ICC was 0.746 for overweight males, 0.807 for obese males, 0.628 for overweight females and 0.674 for obese females, respectively. The correction prediction models included: PBF(DXA)=13.425+0.719×PBF(MF-BIA) for overweight males; PBF(DXA)=12.572+0.741×PBF(MF-BIA) for obese males; PBF(DXA)=9.785+0.802×PBF(MF-BIA) for overweight females; PBF(DXA)=20.348+0.532×PBF(MF-BIA) for obese females. **Conclusion** The consistency in PBF measurement in overweight/obese adults by MF-BIA and DXA was poor in China. Correction should be conducted when MF-BIA is used in the measurement of PBF.

【Key words】 Obesity; Percentage of body fat; Bioelectrical impedance analysis; Dual energy X-ray absorptiometry; Prediction models

DOI:10.3760/cma.j.issn.0254-6450.2015.07.008

作者单位:100191 北京大学公共卫生学院北京大学儿童青少年卫生研究所(王政和、阳益德、王烁、马军);蚌埠医学院预防医学系(付连国)
通信作者:马军, Email:majunt@bjmu.edu.cn

双能X线吸收(DXA)法采用X线作为放射源,探测全身或某个部位骨和软组织含量,测量结果准确、可靠,正逐步取代“水下称重法”成为测量身体成分的“金标准”,但其测试费用较高,设备精细、昂贵,不适用于大规模流行病学调查。生物电阻抗(BIA)法是一种快速、非损伤测量身体成分的方法^[1],具有操作简单、成本低廉、测试速度快等优点,在大规模流行病学调查中应用广泛。已有研究显示,BIA法与DXA法比较缺乏准确性^[2-4],如单频生物电阻抗仪(SF-BIA)与DXA的测量一致性较差^[5-7],尤其是肥胖个体^[6-7]。近年来,发展的多频生物电阻抗仪(MF-BIA)在一定程度上能更准确测量体成分,但对于MF-BIA在我国成年超重/肥胖个体中应用的适用性尚不清楚。为此本研究同时采用MF-BIA法和DXA法分别测量成年超重/肥胖个体的体脂率,评价两方法的一致性及建立校正方程,为MF-BIA法在我国成人超重/肥胖人群中准确测量体脂率提供依据。

对象与方法

1. 研究对象:2014年4月1日至5月2日采用志愿招募方式,在知情同意情况下,招募在北京市居住满1年,年龄22~55岁、BMI $\geq 24\text{ kg/m}^2$ 的志愿者,在首次身高、体重测量后,依据中国肥胖问题工作组制定的《中国成人超重和肥胖症预防控制指南》肥胖诊断标准^[8][超重:24 $\leq \text{BMI}(\text{kg/m}^2) < 28$;肥胖: $\text{BMI} \geq 28$]排除非超重/肥胖志愿者;并经内科医生询问既往病史,排除曾患有心血管疾病、肺炎、肝炎、胃炎、肾炎等疾病及身体发育缺陷、继发性肥胖、身体内安置金属医疗器械(如心脏起搏器、金属钢钉等)的志愿者。最终招募1 323名超重/肥胖成人,其中男性522人(超重183人、肥胖339人),女性801人(超重391人、肥胖410人)。

2. 体脂率测试方法:

(1)MF-BIA法:采用TANITA MC-180体成分仪(日本TANITA公司)由经过专业培训的测试者测量受试者全身体脂率。测量时要求受试者脱去外衣、鞋、袜等衣物,且摘掉手表、戒指等金属饰品。

(2)DXA法:采用DXA(美国GE公司)由专业医师测量受试者的全身体脂率。采用标准模式扫描,X射线剂量0.4 LGy,支持电流0.15 A。

(3)判定超重/肥胖标准:采用长岭晋吉体脂率法判断超重/肥胖的标准,男性体脂率 $\geq 20.0\%$ 、女性体脂率 $\geq 30.0\%$ 判定为超重/肥胖^[9]。

3. 统计学分析:采用EpiData 3.1软件建立数据库,平行双录入。采用SPSS 17.0软件,组间差异采用配对t检验;采用组内相关系数(ICC)和Bland-Altman分析MF-BIA法与DXA法测量体脂率的一致性;以DXA法测量的体脂率为因变量,MF-BIA法测量的体脂率为自变量进行线性回归,校正MF-BIA法测量的体脂率。

结 果

1. 一般情况:共测量1 312人,其中男性522人,女性801人;平均年龄(37.2±9.1)岁,其中男性(35.5±8.5)岁,女性(38.2±9.4)岁;平均BMI(29.4±4.0)kg/m²,男性为(30.1±4.1)kg/m²,女性为(29.0±3.8)kg/m²。MF-BIA法测量体脂率其判定超重/肥胖率为98.7%,其中男性为100%,女性为99.6%;DXA法测量体脂率其判定超重/肥胖率为99.8%,其中男性为97.6%,女性为99.4%。

2. 两法测量体脂率的一致性:分别采用MF-BIA法和DXA法测量超重男性、肥胖男性、超重女性、肥胖女性的体脂率平均差值分别为-6.5%、-4.3%、-2.5%和0.5%;配对t检验结果显示,超重男性、肥胖男性、超重女性和肥胖女性MF-BIA法与DXA法测量体脂率的差异均有统计学意义(P 值均 <0.05),见表1。

表1 MF-BIA法和DXA法测量超重/肥胖人群
体脂率($\bar{x}\pm s, \%$)的比较

组别	MF-BIA法	DXA法	差值 ^a	t值	P值
男性					
超重(n=183)	24.7±3.6	31.2±3.5	-6.5±2.5	-34.5	<0.001
肥胖(n=339)	31.8±4.8	36.1±4.4	-4.3±2.9	-27.7	<0.001
女性					
超重(n=391)	36.5±2.7	39.1±3.3	-2.5±2.6	-19.5	<0.001
肥胖(n=410)	44.5±4.4	44.0±3.4	0.5±3.2	3.2	0.002

注:^a为MF-BIA法与DXA法测量体脂率的差值

进一步计算MF-BIA法和DXA法测量体脂率的ICC值。结果显示,超重男性ICC=0.746($F=6.86, P<0.01$),肥胖男性ICC=0.807($F=9.35, P<0.01$),超重女性ICC=0.628($F=4.38, P<0.001$),肥胖女性ICC=0.674($F=5.14, P<0.001$)。绘制Bland-Altman图显示,MF-BIA法和DXA法测量的体脂率一致性:超重男性为-11.47%~-1.51%,肥胖男性为-9.97%~1.30%,超重女性为-7.62%~2.52%,肥胖女性为-5.75%~6.74%(图1)。

3. MF-BIA法测量体脂率的校正预测模型:将MF-BIA法测量的体脂率作为自变量,DXA法测量

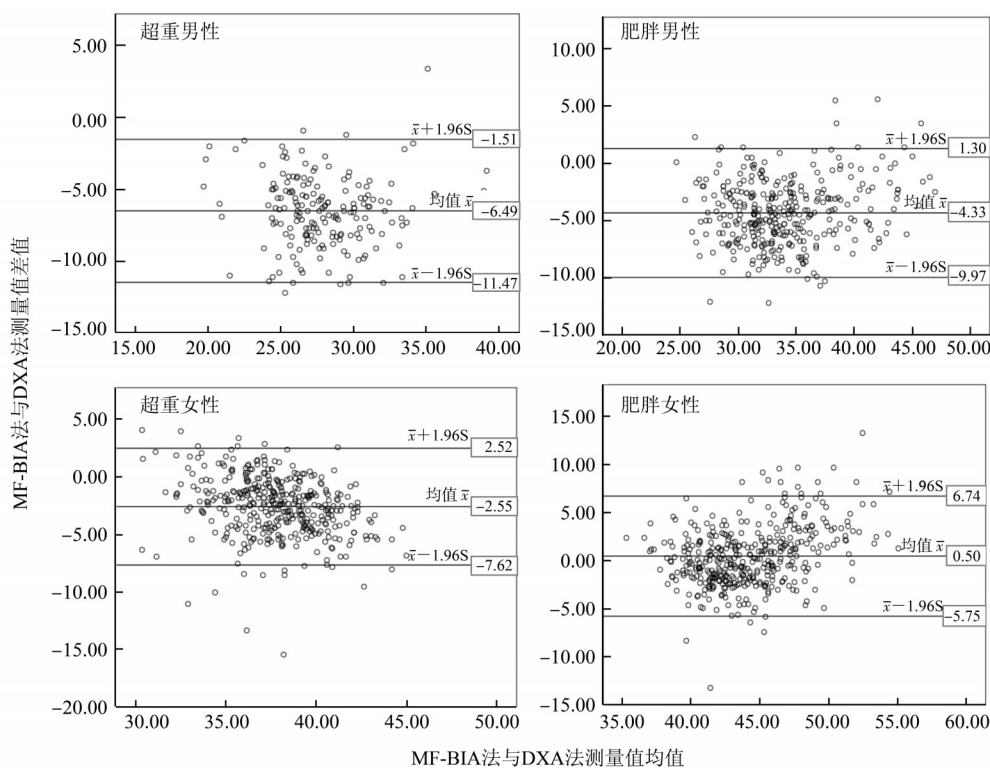


图1 MF-BIA法与DXA法测量男女性体脂率一致性的Bland-Altman分析

的体脂率为因变量,进行线性回归分析。结果显示,超重男性人群回归模型:体脂率(DXA法)= $13.425+0.719 \times$ 体脂率(MF-BIA法),决定系数 $R^2=0.557$;肥胖男性人群回归模型:体脂率(DXA法)= $12.572+0.741 \times$ 体脂率(MF-BIA法),决定系数 $R^2=0.656$;超重女性人群回归模型:体脂率(DXA法)= $9.785+0.802 \times$ 体脂率(MF-BIA法),决定系数 $R^2=0.414$,肥胖女性人群回归模型:体脂率(DXA法)= $20.348+0.532 \times$ 体脂率(MF-BIA法),决定系数 $R^2=0.490$ (表2)。4个回归模型的残差分别为超重男性($-0.01 \pm 2.33\%$)、肥胖男性($0.02 \pm 2.59\%$)、超重女性($0.00 \pm 2.53\%$)和肥胖女性($0.02 \pm 2.41\%$);将回归模型的残差与MF-BIA法和DXA法测量的体脂率差值的绝对值进行配对t检验,结果显示:预测模型的差值显著小于实测值的差值(P 值均 <0.01),即矫正后的模型具有较好的使用价值(表3)。

讨 论

本研究对MF-BIA法与DXA法测量成年超重/肥胖人群体脂率进行配对t检验、组内相关分析和Bland-Altman分析显示:两法检测体脂率的一致性较差,存在较大系统误差。表明MF-BIA不能准确测量我国成年超重/肥胖人群的体脂率。DXA法是

表2 MF-BIA法测量体脂率校正预测模型

组别	变量	β	$s_{\bar{x}}$	t值	P值	R^2 值
男性						
超重	常数项	13.425	1.193			
	体脂率	0.719	0.048	15.077	<0.001	0.557
肥胖	常数项	12.572	0.938			
	体脂率	0.741	0.029	25.353	<0.001	0.656
女性						
超重	常数项	9.785	1.771			
	体脂率	0.802	0.048	16.585	<0.001	0.414
肥胖	常数项	20.348	1.202			
	体脂率	0.532	0.027	19.783	<0.001	0.490

表3 MF-BIA法测量体脂率校正预测模型效果评价

组别	模型残差	差值 ^a	t值	P值
男性				
超重(n=183)	-0.01±2.33	-6.49±2.54	85.95	<0.001
肥胖(n=339)	0.02±2.59	-4.33±2.88	64.02	<0.001
女性				
超重(n=391)	0.00±2.53	-2.54±2.59	95.80	<0.001
肥胖(n=410)	0.02±2.41	0.50±3.19	4.67	<0.001

注:^a同表1

采用身体成分三间隔模型,通过X线束滤过式脉冲技术获得两种能量的X线来测量机体脂肪组织、非脂肪组织和骨矿含量的方法^[10],是国际公认测定机体成分的“金标准”之一。研究证实,在不同年龄、性别、身体活动水平、种族及脂肪比例的群体中,采用

DXA法检测体脂率的偏性很小^[11]。因此,DXA法测量值可作为参考方法用以评定MF-BIA法测量我国超重/肥胖人群的准确性。

本研究发现,与DXA法相比,MF-BIA法显著低估了超重男性、肥胖男性和超重女性人群的体脂肪率,绝对低估值分别为6.5%、4.3%和2.5%。这与国外的研究结果相一致^[3-5, 12]。另外,还发现MF-BIA法稍高估了肥胖女性人群的体脂率,虽然绝对高估值仅为0.5%,但差异有统计学意义($P<0.05$),这与已有的研究结果不同,例如Gába等^[13]比较了该两种方法测量绝经后妇女体脂率一致性显示,MF-BIA法低估绝经后肥胖妇女的体脂肪量约1.8 kg。这可能与研究人群生理状态不同有关,本研究中肥胖女性大部分未绝经,提示对于不同生理状态的肥胖女性人群采用MF-BIA法测量的结果其偏差也不同,但具体关系还有待进一步研究。另外,也可能与人种的差异及MF-BIA仪器内置预测模型的差异有关。

通过ICC分析和配对t检验发现,两种方法对于男性超重、男性肥胖人群体脂率测量值的ICC均>0.7,且均高于女性,表明在男性超重/肥胖人群两种方法测量值的相关性较好;但MF-BIA法低估超重男性和肥胖男性人群的体脂率分别为6.5%和4.3%,占DXA法测量值的20.7%和12.0%。表明MF-BIA仪器内置预测模型对于我国男性超重人群体脂率的测量值准确性差,存在较大的系统误差。研究中以MF-BIA法测量的体脂率作为自变量,DXA法测量的体脂率为因变量,进行线性回归分析,建立适用于我国成年超重/肥胖人群的校正预测模型。结果显示,预测模型的残差明显低于MF-BIA法实测值与DXA实测值之差,表明MF-BIA的校正模型好于MF-BIA实测值,具有一定的使用价值。但本研究仅是基于超重/肥胖人群拟合校正预测模型,对于推广至体重正常人群尚具有局限性。

参 考 文 献

- [1] Lukaski HC, Johnson PE, Bolonchuk WW, et al. Assessment of fat-free mass using bioelectrical impedance measurements of the human body[J]. Am J Clin Nutr, 1985, 41(4):810-817.
- [2] Ritz P, Sallé A, Audran M, et al. Comparison of different methods to assess body composition of weight loss in obese and diabetic patients [J]. Diabetes Res Clin Pract, 2007, 77 (3) : 405-411.
- [3] Sun G, French CR, Martin GR, et al. Comparison of multifrequency bioelectrical impedance analysis with dual-energy X-ray absorptiometry for assessment of percentage body fat in a large, healthy population[J]. Am J Clin Nutr, 2005, 81(1):74-78.
- [4] Pateyjohns IR, Brinkworth GD, Buckley JD, et al. Comparison of three bioelectrical impedance methods with DXA in overweight and obese men [J]. Obesity (Silver Spring) , 2006, 14 (11) : 2064-2070.
- [5] Frisard MI, Greenway FL, Delany JP. Comparison of methods to assess body composition changes during a period of weight loss [J]. Obes Res, 2005, 13(5):845-854.
- [6] Deurenberg P. Limitations of the bioelectrical impedance method for the assessment of body fat in severe obesity [J]. Am J Clin Nutr, 1996, 64 (3 Suppl):S449-452.
- [7] Segal KR, van Loan M, Fitzgerald PI, et al. Lean body mass estimation by bioelectrical impedance analysis: a four-site cross-Validation Study[J]. Am J Clin Nutr, 1998, 47(1):7-14.
- [8] Working Group on Obesity in China. Chinese adults overweight and obesity prevention and control guidelines (excerpt) [J]. Acta Nutrimenta Sinica, 2004, 26(1):1-4. (in Chinese)
中国肥胖问题工作组. 中国成人超重和肥胖症预防与控制指南(节录) [J]. 营养学报, 2004, 26(1):1-4.
- [9] Zheng MX, Zheng LB, Yang Q, et al. Preliminary exploration of obesity evaluation standard of Jianghuai Han by skinfold thickness and body fat ratio [J]. J Tianjin Normal Univ: Natural Sci Ed, 2013, 33(4):68-72. (in Chinese)
郑明霞, 郑连斌, 杨茜, 等. 用皮褶厚度、体脂率评价江淮汉族肥胖标准初探[J]. 天津师范大学学报: 自然科学版, 2013, 33(4): 68-72.
- [10] Branski LK, Norbury WB, Herndon DN, et al. Measurement of body composition in burned children: is there a gold standard? [J]. J Parenter Enteral Nutr , 2010, 34(1):55-63.
- [11] Tungsiripat M, O' Riordan MA, Storer N, et al. Subjective clinical lipoatrophy assessment correlates with DEXA-measured limb fat [J]. HIV Clinical Trials, 2009, 10(5):314-319.
- [12] Neovius M, Hemmingsson E, Freyschuss B, et al. Bioelectrical impedance underestimates total and truncal fatness in abdominally obese women[J]. Obesity (Silver Spring) , 2006, 14 (10):1731-1738.
- [13] Gába A, Kapuš O, Cuberek R, et al. Comparison of multi-and single-frequency bioelectrical impedance analysis with dual-energy X-ray absorptiometry for assessment of body composition in post-menopausal women: effects of body mass index and accelerometer-determined physical activity[J]. J Hum Nutr Diet, 2014:1-11. [Epub ahead of print].

(收稿日期:2014-12-05)

(本文编辑:张林东)